

## Comment accélérer un processus physique ?

---

David Guéry-Odelin

---

Laboratoire Collisions Agrégats Réactivité

---



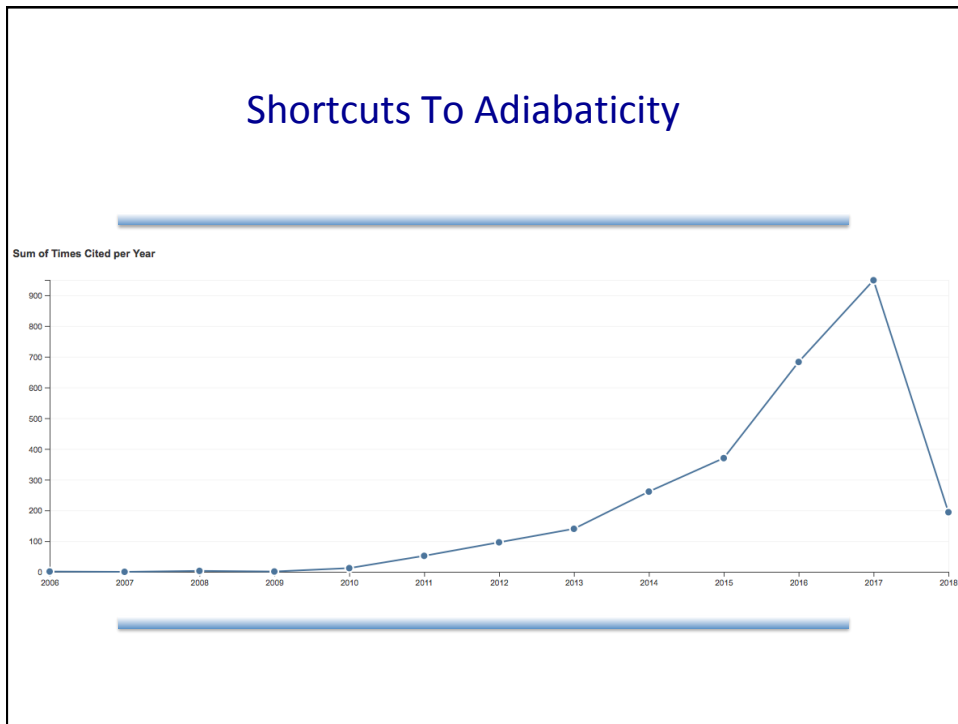
## Sérendipité (anglicisme...)

---

La sérendipité est le fait de réaliser une découverte scientifique ou une invention technique de façon inattendue à la suite d'un concours de circonstances fortuit et très souvent dans le cadre d'une recherche concernant un autre sujet.

La sérendipité est le fait de « trouver autre chose que ce que l'on cherchait »

---

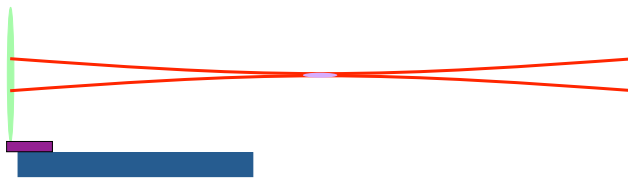


## PLAN DE L'EXPOSE

- 1- Transport d'atomes
- 2- Manipulation d'un moment magnétique
- 3- Compression / décompression
- 4- Extension des méthodes à la physique statistiques – applications
  - 1- Le gaz piégé
  - 2- La bille dans une pince optique
  - 3- La pointe de microscope
- CONCLUSION

### Transporter une particule dans une pince optique

Transport à l'aide d'une pince optique A. Couvert et al., EuroPhys. Lett. **83**, 13001 (2008)



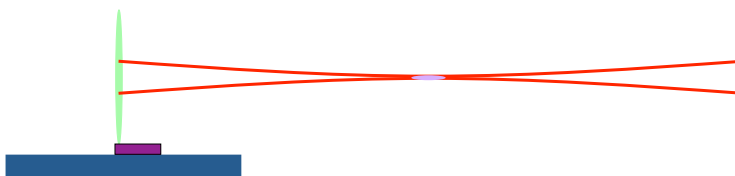
La pince optique exploite la polarisabilité

$$\vec{p} = \varepsilon_0 \alpha \vec{E}_L$$

$$W(\vec{r}) = -\frac{1}{2} \vec{p} \cdot \vec{E}_L = -\frac{\varepsilon_0 \alpha}{2} |\vec{E}_L(\vec{r})|^2$$

## Transporter une particule dans une pince optique

Transport à l'aide d'une pince optique A. Couvert et al., EuroPhys. Lett. **83**, 13001 (2008)



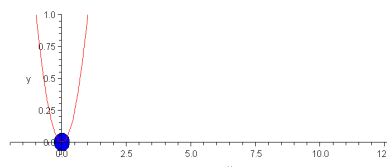
Au voisinage du minimum de potentiel (correspondant au maximum d'intensité)

$$W \propto -I(\vec{r}) \simeq (m\omega_{\perp}^2 r_{\perp}^2 + m\omega_0^2 z^2)/2$$

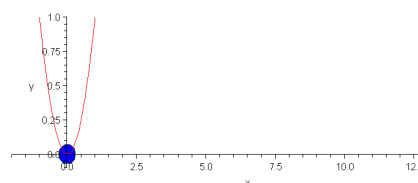
$$|\vec{F}_{\perp}| \gg |\vec{F}_{\parallel}| \quad \Rightarrow \quad \omega_{\perp} \gg \omega_{\parallel}$$

Un déplacement « adiabatique » le long de l'axe longitudinal prend du temps ...

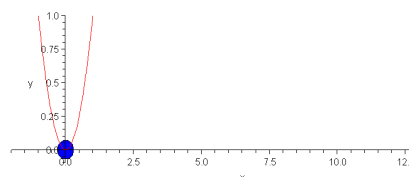
Evolution assez lente



Evolution rapide mais pas optimale

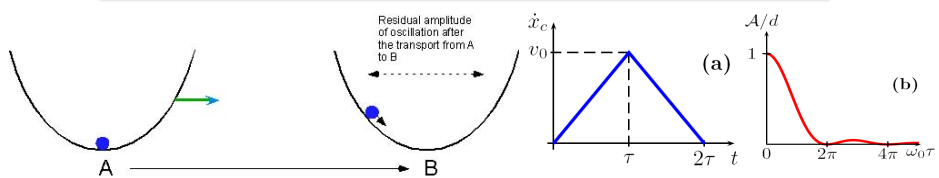


Evolution rapide et optimale



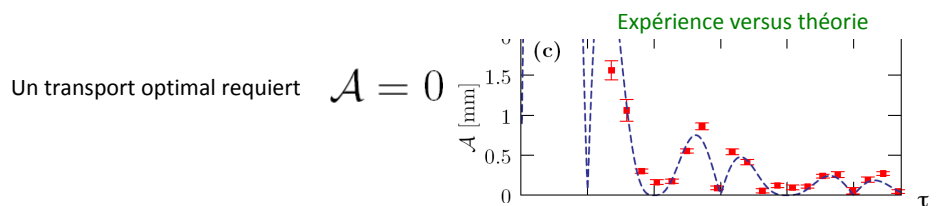


### Transporter une particule dans un potentiel harmonique



$$\mathcal{A}_{\max}(\tau) = \frac{4a}{\omega_0^2} \sin^2\left(\frac{\omega_0 \tau}{2}\right)$$

L'amplitude d'oscillation du centre de masse après transport est donnée par le module de la transformée de Fourier du profil de vitesse appliqué au potentiel harmonique de confinement.  
(analogie avec la diffraction en optique)



### Transport : deux stratégies complémentaires

#### Stratégie 1

$$H_1(t) = \frac{p^2}{2m} + U(x - x_0(t))$$

On choisit  $x_0(t)$   
de manière adéquate

#### Stratégie 2

$$H_2(t) = \frac{p^2}{2m} + U(x - x_0(t)) - m\ddot{x}_0 x$$

On applique une force  
homogène dépendante du  
temps

La particule bouge dans le potentiel sous l'action de la force d'inertie d'entraînement. On peut envisager de contrecarrer cette force à chaque instant.

**Question** Pour la stratégie 1, peut-on choisir librement le temps de transport ou est-on obligé de choisir un temps « magique » ?

### Comment déterminer $x_0(t)$ ?

$$\ddot{x} + \omega_0^2(x - x_0(t)) = 0$$

**Conditions aux limites**  $x(0) = 0, \dot{x}(0) = 0, \ddot{x}(0) = 0,$   
 $x(t_f) = d, \dot{x}(t_f) = 0, \ddot{x}(t_f) = 0.$

#### Méthode dite de « reverse engineering »

Choisir une fonction  $x(t)$  qui remplit les conditions aux limites,  
puis déduire de l'équation du mouvement l'expression de  $x_0(t)$

Usage inverse des équations différentielles

### Comment déterminer $x_0(t)$ et garantir la robustesse de la solution ?

On montre que l'excès d'énergie après transport se met sous la forme d'une transformée de Fourier pour  $\omega = \omega_0$

$$\Delta E(t_f) = \frac{m}{2} \left| \int_0^{t_f} \ddot{x}_0(t') e^{-i\omega_0 t'} dt' \right|^2$$

La question qui se pose est donc la suivante

**Comment façonner les zéros de cette transformée de Fourier ?**

### Une petite astuce mathématique

$$F(\omega) = \left| \int_0^{t_f} \ddot{x}_0(t') e^{-i\omega t'} dt' \right|$$

On introduit la fonction auxiliaire  $g(t)$  qui obéit aux conditions limites

$$g(0) = g(t_f) = 0, \quad g'(0) = g'(t_f) = 0, \quad g''(0) = g''(t_f) = 0$$

On définit l'accélération du potentiel par le biais de la fonction auxiliaire selon

$$\ddot{x}_0 = \frac{d^2 g}{dt^2} + \omega_0^2 g$$

Pour que cela soit cohérent, on ajoute les conditions intégrales

$$\int_0^{t_f} g(t) dt = 0 \quad \text{and} \quad \int_0^{t_f} dt' \int_0^{t'} g(t'') dt'' = d.$$

Après intégration par parties, on a

$$F(\omega) = \left| (\omega^2 - \omega_0^2) \int_0^{t_f} g(t') e^{-i\omega t'} dt' \right|$$

Par construction, on a un zéro pour la valeur attendue !

$$F(\omega_0) = 0$$

### Généralisation immédiate

$$\ddot{x}_0(t) = \frac{d^4 g}{dt^4} + (\omega_1^2 + \omega_2^2) \frac{d^2 g}{dt^2} + \omega_1^2 \omega_2^2 g(t)$$

Avec un choix approprié pour les conditions aux limites

$$F(\omega) = \left| (\omega^2 - \omega_1^2)(\omega^2 - \omega_2^2) \int_0^{t_f} e^{-i\omega t'} g(t') dt' \right|.$$

$$F(\omega_1) = F(\omega_2) = 0$$

**Conséquence :** Transport optimal simultané de deux particules différentes !

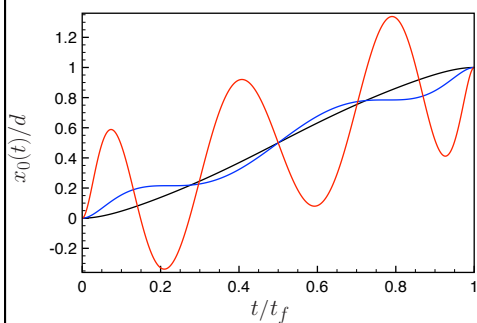
**Cette méthode peut également être mise à profit pour améliorer la robustesse du transport**

Incidentement, ici aussi un nouvel usage des équations différentielles

### Robustesse du transport

Par rapport à la fréquence de piégeage

$$\omega_0 t_f = 2\pi \times 1.25.$$

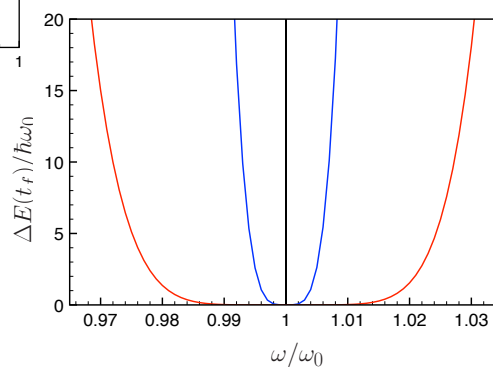


$$F(\omega) \propto (\omega^2 - \omega_0^2)^n$$

n=1

n=2

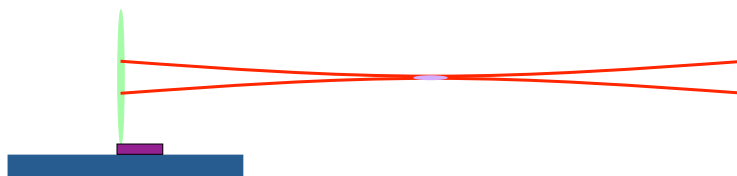
n=3



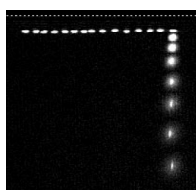
DGO and J. Muga PRA **90**, 063425 (2014).

## Transporter des atomes

Transport à l'aide d'une pince optique A. Couvert et al., EuroPhys. Lett. **83**, 13001 (2008)

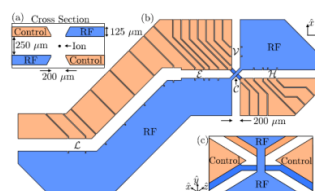


Transport magnétique



W. Hansel et al. Nature **413**, 498 (2001)

Transport électromagnétique (ions)



J. P. Home et al. Science **325**, 1227 (2009)

## Transport rapide pour le traitement de l'information quantique

Physics

Physics **5**, 94 (2012)

### Viewpoint

#### Moving Traps Offer Fast Delivery of Cold Ions

Christian Roos

Institute for Quantum Optics and Quantum Information, Austrian Academy of Sciences, A-6020 Innsbruck, Austria

Published August 20, 2012

*Two separate experiments have demonstrated the fast transport of trapped ions using trapping potentials that trace out the path for the ions to follow.*

Subject Areas: **Atomic and Molecular Physics, Quantum Information**

A Viewpoint on:

#### Coherent Diabatic Ion Transport and Separation in a Multizone Trap Array

R. Bowler, J. Gaebler, Y. Lin, T. R. Tan, D. Hanneke, J. D. Jost, J. P. Home, D. Leibfried, and D. J. Wineland  
Phys. Rev. Lett. **109**, 080502 (2012) – Published August 20, 2012

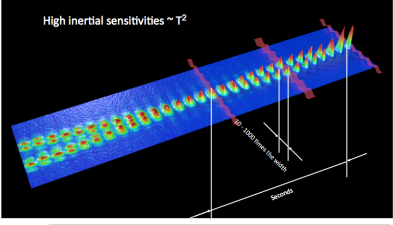
#### Controlling Fast Transport of Cold Trapped Ions

A. Walther, F. Ziesel, T. Ruster, S. T. Dawkins, K. Ott, M. Hettrich, K. Singer, F. Schmidt-Kaler, and U. Poschinger  
Phys. Rev. Lett. **109**, 080501 (2012) – Published August 20, 2012

## Zero-g experiments

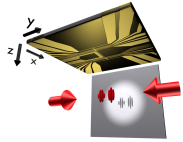


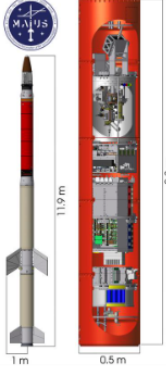
146 m tall  
 110 m drop height  
 Free fall: 4.7 s  
 Catapult: 9.2 s  
 $10^{-5} \text{ m/s}^2$  below  
 100 Hz  
 3 flights per day  
 Capsule deceleration  
 up to  $500 \text{ m/s}^2$





**E. Rasel**  
 Hannover

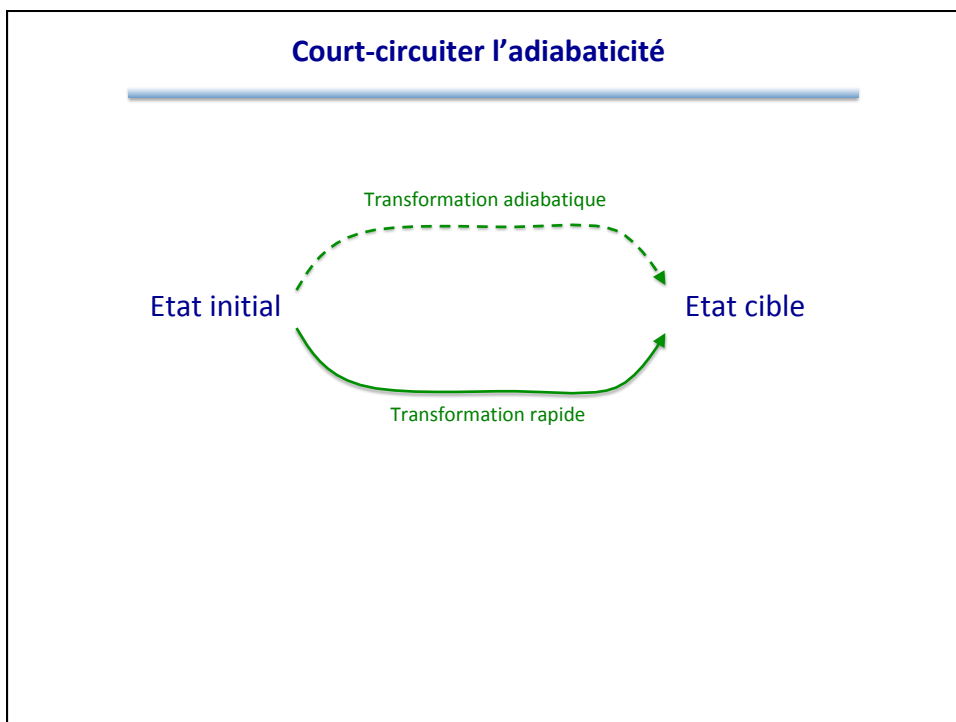


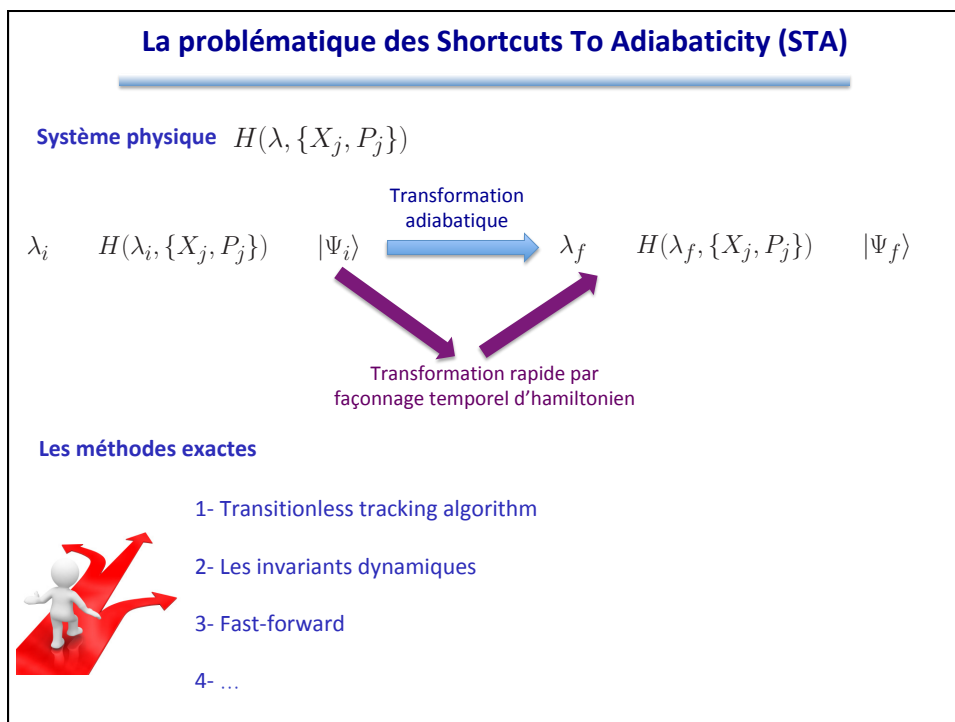
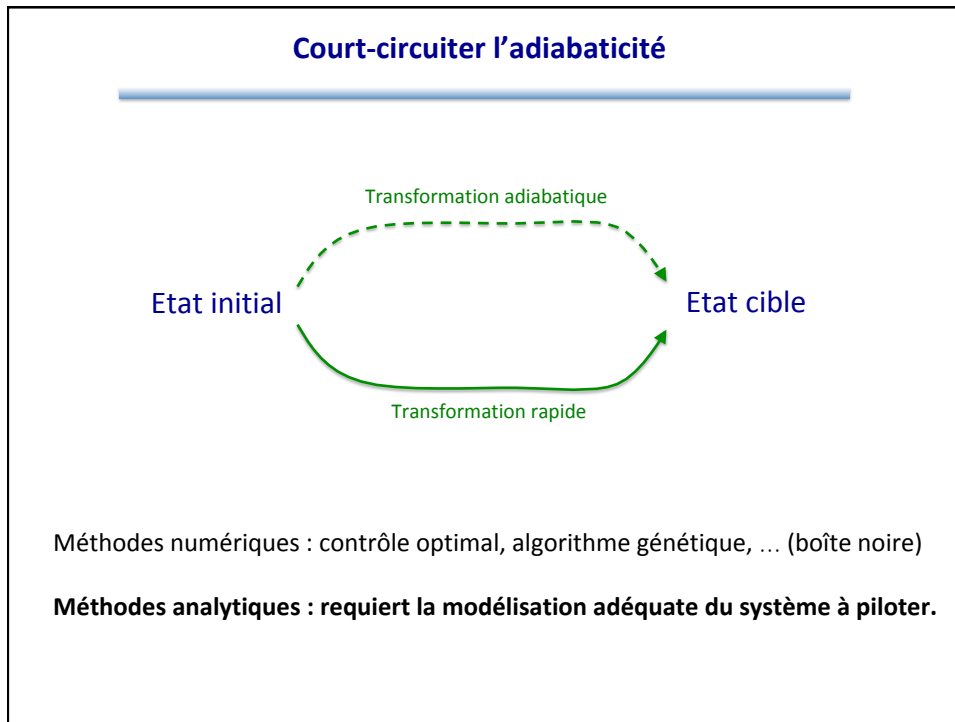


1 m      0.5 m



2.8 m





## PLAN DE L'EXPOSE

- 1- Transport d'atomes
- 2- Manipulation d'un moment magnétique**
- 3- Compression / décompression
- 4- Extension des méthodes à la physique statistiques – applications
  - 1- Le gaz piégé
  - 2- La bille dans une pince optique
  - 3- La pointe de microscope

CONCLUSION

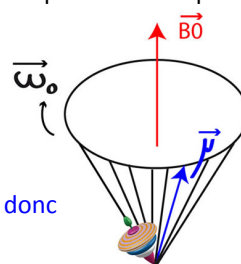
### Manipulation d'un moment magnétique

$$W = -\vec{M} \cdot \vec{B}(\vec{r}, t)$$

Précession quand le champ est constant

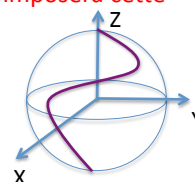
$$\frac{d\vec{M}}{dt} = \vec{\omega}_0 \times \vec{M} \quad [1] \quad \text{avec} \quad \vec{\omega}_0 = -\gamma \vec{B}$$

La norme de  $\vec{M}(t)$  est constante, ce vecteur évolue donc sur une sphère



Si on choisit un chemin dépendant du temps arbitraire sur cette sphère, on peut en inversant l'équation [1] déduire le champ magnétique qui imposera cette trajectoire

$$\vec{B}(t) = \vec{B}_0(t) \frac{\vec{M}(t)}{\|\vec{M}\|} - \frac{1}{\gamma} \frac{\vec{M}(t) \times \frac{d\vec{M}}{dt}}{\|\vec{M}\|^2}$$



M. V. Berry J. Phys. A **42** 365303 (2009)

### Retournement du moment magnétique

---

inversion de population

Impulsion  $\pi_x$

$\Omega_0 = \gamma B_0 \quad t_0 = \pi / \Omega_0$

### Retournement en présence de dispersion

---

$$\vec{\omega}_0 = -\gamma \vec{B}$$

$$\gamma \in [(1 - \varepsilon)\gamma_0; (1 + \varepsilon)\gamma_0]$$

Impulsion  $\pi_x$

$\Omega_0 = \gamma B_0 \quad t_0 = \pi / \Omega_0$

$\gamma_R = (1 + \varepsilon)\gamma_0$     $\gamma_L = (1 - \varepsilon)\gamma_0$

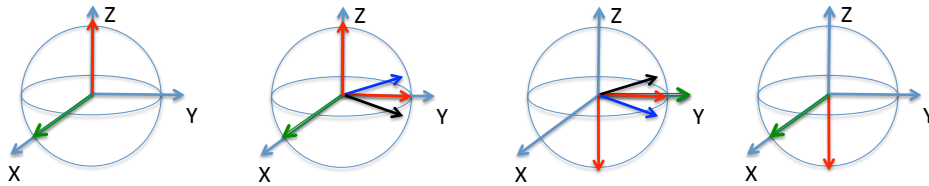
Probabilité de non-retournement

$$P_1 \propto \varepsilon^2$$

**Retournement en présence de dispersion (écho de spin)**

$$\vec{\omega}_0 = -\gamma\vec{B} \quad \gamma \in [(1 - \varepsilon)\gamma_0; (1 + \varepsilon)\gamma_0]$$

Séquence composite d'impulsions  $(\pi/2)_x(\pi)_y(\pi/2)_x$



Probabilité de non-retournement

$$P_3 \propto \varepsilon^4$$

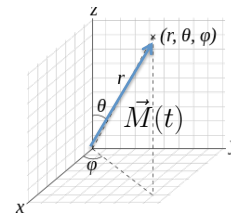
Robustesse vis-à-vis d'une disparité des fréquences de Rabi  $\Omega_0$

Roos & Molmer, PRA 69, 022321 (2004)

**Stratégie de renversement optimal**

$$\frac{d\vec{M}}{dt} = \vec{\omega}_0 \times \vec{M}$$

$$\begin{aligned} \dot{\theta} &= \gamma_1 (B_y \cos \varphi - B_x \sin \varphi), \\ \dot{\varphi} &= \gamma_1 [B_z - \cot \theta (B_x \cos \varphi + B_y \sin \varphi)] \end{aligned}$$



On impose les conditions aux limites

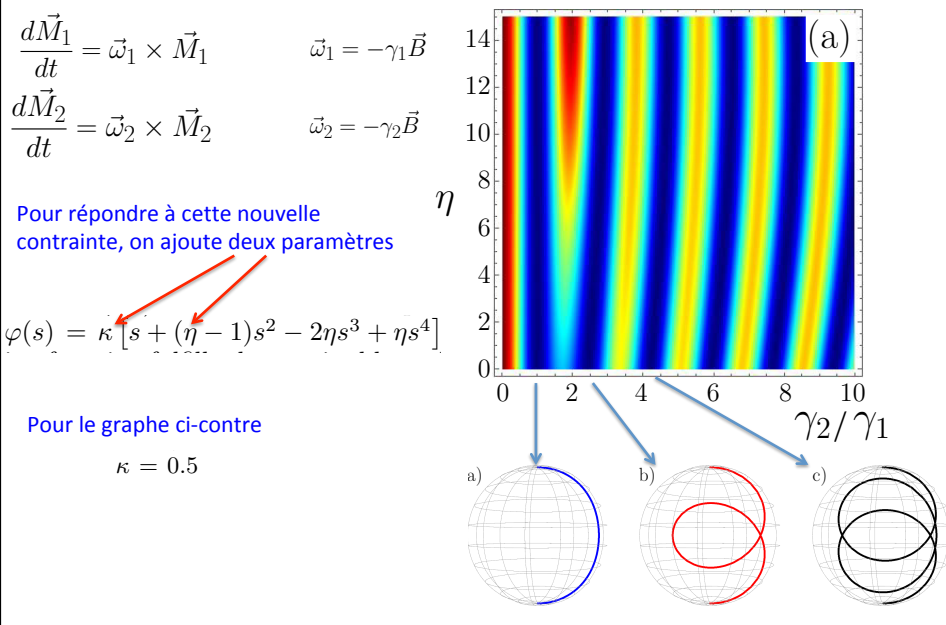
$$\begin{aligned} \theta(0) &= 0 & \theta(T) &= \pi \\ \varphi(0) &= 0 & \varphi(T) &= 0 \\ \dots & & & \end{aligned}$$

Interpolation

$$\begin{aligned} \theta(s) &= \pi s \\ \varphi(s) &= s - s^2 \end{aligned}$$

$B_x(t)$  &  $B_z(t)$

### Manipuler simultanément deux moments magnétiques différents (1)



### Manipuler simultanément deux moments magnétiques différents (2)

